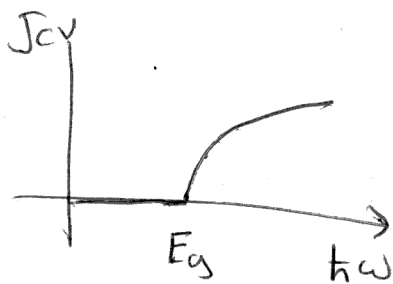


La  $J_{cv}$  se comporta así

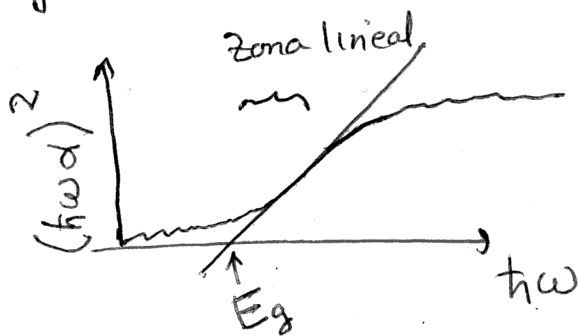


Característica del punto crítico  $M_0$

Para determinar el bandgap experimentalmente, se usa el comportamiento

$$|h\omega \alpha(\omega)|^2 \approx C(h\omega - E_g)$$

Se hace el "grafico de Tauc"



Aunque teóricamente  $\alpha = 0$  para  $h\omega < E_g$ , esto es en condiciones ideales: periodicidad perfecta,  $T=0$ ,  $n \rightarrow 0$ , excitones!

Los defectos rompen la periodicidad, aparecen estados localizados bajo el gap.

Las vibraciones también, dependen de  $T$ .

Jan Tauc inventó "su gráfico" para estudiar **amorfos**. En sólidos amorfos  $h\omega \alpha \sim (h\omega - E_g)^2$ , entonces graficaba  $(h\omega d)^{1/2}$  vs  $h\omega$  y obtenía el "gap de Tauc"

# Transiciones prohibidas en punto $M_0$

$$\vec{P}_{cv}(\vec{k}_0) = 0$$

$$\vec{P}_{cv}(\vec{k}) \approx \nabla_{\vec{k}} \vec{P}_{cv}(\vec{k}_0) \cdot (\vec{k} - \vec{k}_0)$$

Desarrollo de Taylor  
en primer orden

$$P_{cv}(\vec{k})_{\alpha} = \frac{\partial P_{cv\alpha}}{\partial k_{\beta}} (\vec{k} - \vec{k}_0)_{\beta}$$

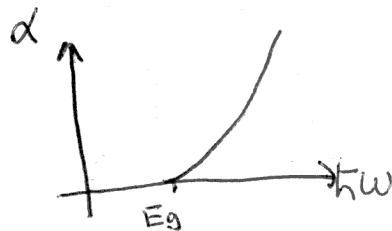
$$\epsilon_2(\omega) \approx \frac{8\pi^2 e^2}{m^2 \omega^2} \sum_{cv} \int \frac{d^3k}{(2\pi)^3} \left| \vec{e} \cdot \nabla_{\vec{k}} \vec{P}_{cv}(\vec{k}_0) \cdot (\vec{k} - \vec{k}_0) \right|^2 \times \delta(E_c(\vec{k}) - E_v(\vec{k}) - \hbar\omega)$$

$$\vec{e} \cdot \nabla_{\vec{k}} \vec{P}_{cv}(\vec{k}_0) = e_{\alpha} \frac{\partial}{\partial k_{\beta}} P_{cv}(\vec{k}_0)_{\alpha} (\vec{k} - \vec{k}_0)_{\beta}$$

En el caso  $m_1 = m_2 = m_3$  se obtiene

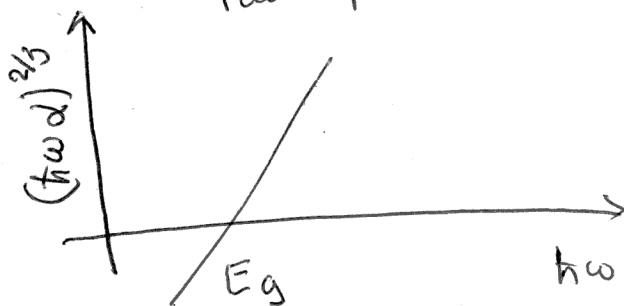
$$\epsilon_2(\omega) \propto \frac{1}{\omega^2} (\hbar\omega - E_g)^{3/2}$$

$$d = \frac{\omega \epsilon_2}{nc} \propto \frac{1}{\omega} (\hbar\omega - E_g)^{3/2}$$



tauc plot

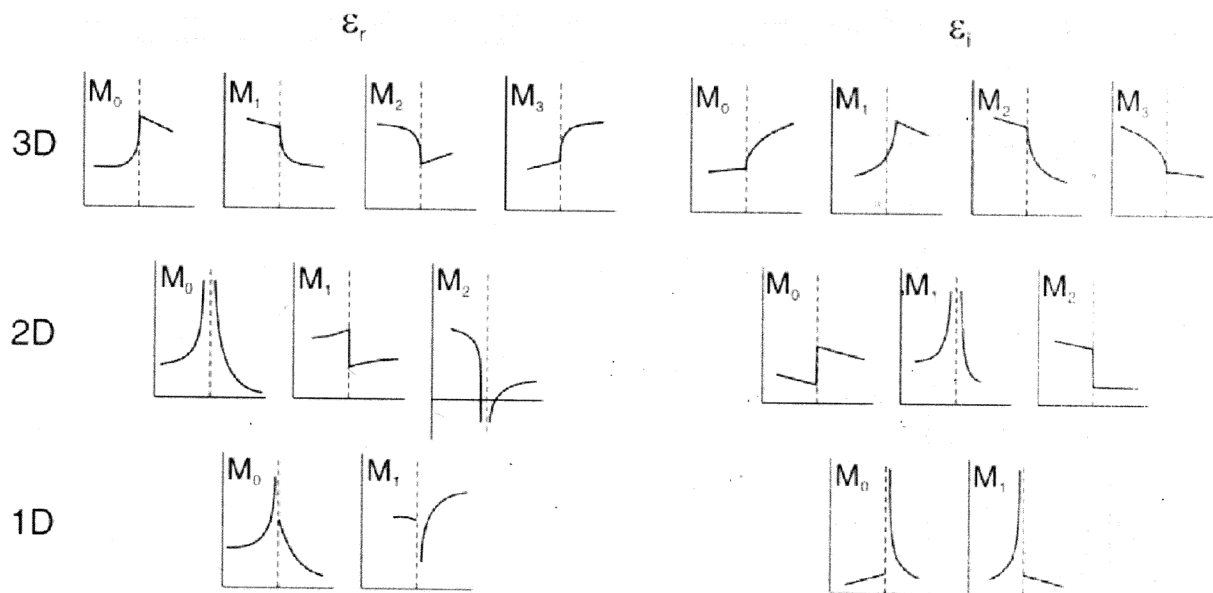
$$\boxed{(\hbar\omega d(\omega))^{2/3} \propto \hbar\omega - E_g}$$



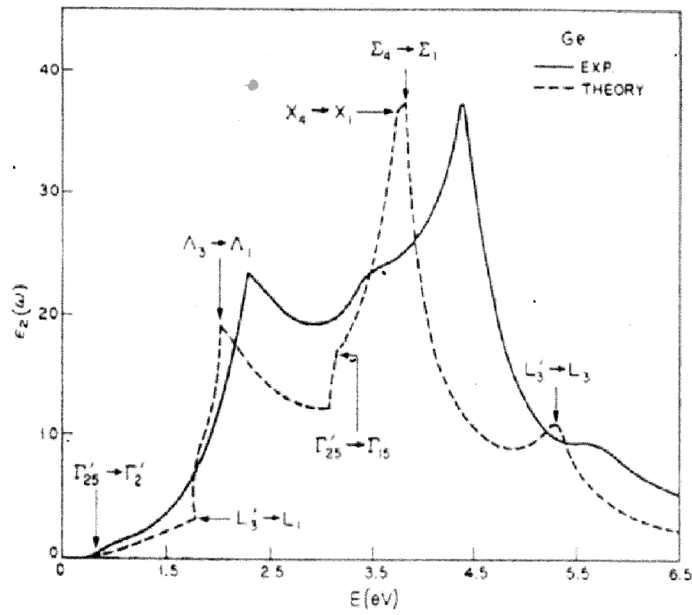
**Table 9.3** Functional dependence of the joint density of states for critical points in 3, 2 and 1 dimensions

Dim.	Label	Type	$D_j$ for $E < E_0$	$D_j$ for $E > E_0$
3D	$M_0$	Min.	0	$\sqrt{E - E_0}$
	$M_1$	Saddle	$C - \sqrt{E_0 - E}$	$C$
	$M_2$	Saddle	$C$	$C - \sqrt{E - E_0}$
	$M_3$	Max.	$\sqrt{E_0 - E}$	0
2D	$M_0$	Min.	0	$C$
	$M_1$	Saddle	$-\ln(E_0 - E)$	$-\ln(E - E_0)$
	$M_2$	Max.	$C$	0
1D	$M_0$	Min.	0	$\sqrt{E - E_0}$
	$M_1$	Max.	$\sqrt{E_0 - E}$	0

$E_0$  denotes the energy (band separation) at the critical point,  $C$  stands for a constant value. The type of critical point is given (min.: minimum, saddle: saddle point, max.: maximum)



Fuente: M. Grundmann, The physics of semiconductors, 3ra ed., Springer (2016)



Fuente: Grosso and Pastori & Parravicini, Solid State Physics

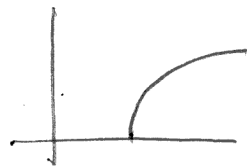
Puntos criticos en 3D

$$E_c(\vec{k}) - E_v(\vec{k}) \cong E_g + \frac{\hbar^2}{2} \left( \frac{\tilde{k}_x^2}{m_x} + \frac{\tilde{k}_y^2}{m_y} + \frac{\tilde{k}_z^2}{m_z} \right)$$

donde  $\tilde{k}_i = k - k_{0i}$ ,  $\tilde{\vec{k}} = \vec{k} - \vec{k}_0$

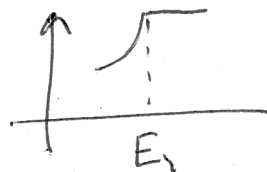
M<sub>0</sub>: Si  $m_x, m_y, m_z > 0$

$$J_{cv} = A \sqrt{\hbar\omega - E_0}$$



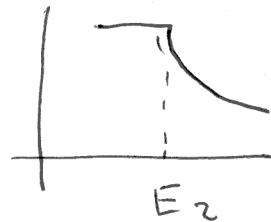
M<sub>1</sub>: Una de las masas tiene signo negativo. Es un punto de ensilladura

$$J_{cv}(\hbar\omega) = C_1 + A_1 \sqrt{E_1 - \hbar\omega}$$



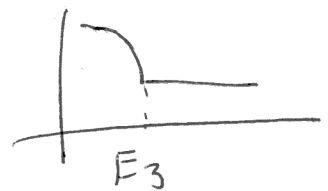
M<sub>2</sub>: Dos masas son negativas

$$J_{cv}(\hbar\omega) = C_2 - A_2 \sqrt{\hbar\omega - E_2}$$



M<sub>3</sub>: Tres masas negativas. Es un maximo

$$J_{cv}(\hbar\omega) = C_3 + A_3 \sqrt{E_3 - E}$$



## Puntos críticos 2D.

Ocurren en cristales bidimensionales o quasibidimensionales.

$$E_c(\vec{k}) - E_v(\vec{k}) = E_0 + \frac{\hbar^2}{2} \left( \frac{k_x^2}{m_x} + \frac{k_y^2}{m_y} \right)$$

Puede ocurrir en cristales 3D, si, por ejemplo  $m_z \gg m_x, m_y$ .

$$J_{cv}(\hbar\omega) = \frac{L_x L_y}{(2\pi)^2} \int \delta \left( E_0 + \frac{\hbar^2}{2} \left( \frac{k_x^2}{m_x} + \frac{k_y^2}{m_y} \right) - \hbar\omega \right) d^2k$$

$$\text{Haciendo } \frac{\hbar^2}{2} \frac{k_x^2}{m_x} = q_x^2, \quad \frac{\hbar^2}{2} \frac{k_y^2}{m_y} = q_y^2$$

$$d^2k = dk_x dk_y = \frac{\sqrt{4m_x m_y}}{\hbar^2} dq_x dq_y = \frac{\sqrt{4m_x m_y}}{\hbar^2} d^2q$$

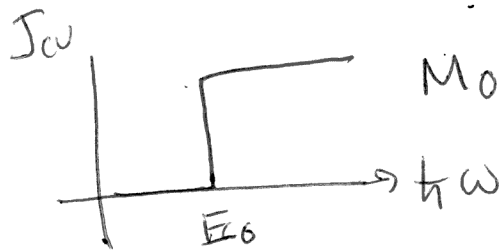
$$J_{cv}(\hbar\omega) = \frac{L_x L_y}{(2\pi)^2} \frac{\sqrt{4m_x m_y}}{\hbar^2} \int \delta(E_0 + q^2 - \hbar\omega) d^2q$$

$$\text{por la delta: } q = \sqrt{\hbar\omega - E_0}, \quad \nabla_q(E_0 + q^2) = 2q$$

$$J_{cv}(\hbar\omega) = \frac{\sqrt{m_x m_y}}{\pi^2 \hbar^2} \int \frac{\delta(q - \sqrt{\hbar\omega - E_0})}{2q} q dq d\theta_q$$

$$\int d\theta_q = 2\pi,$$

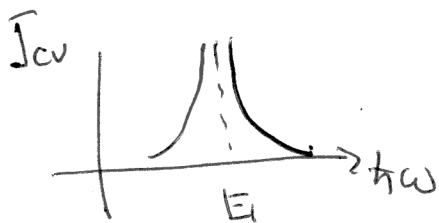
$$J_{cv}(\hbar\omega) = \frac{S \sqrt{\mu_x \mu_y}}{\pi^2 \hbar} \cdot 2\pi \times \begin{cases} 1 & \text{si } \hbar\omega > E_0 \\ 0 & \text{si } \hbar\omega < E_0 \end{cases}$$



Nota: Los excitones en  $Mo^{3D}$  hacen un efecto parecido. Se discrimina viendo la variación con la temperatura

$M_1$ : Si  $\mu_x < 0, \mu_y > 0$  ó  $\mu_x > 0, \mu_y < 0$  tenemos un punto de ensilladura

$$J_{cv}(\hbar\omega) = \frac{S \sqrt{|\mu_x \mu_y|}}{\pi^2 \hbar^2} \ln \frac{4g^2}{|E - E_1|}$$



$M_2$ :  $\mu_x < 0, \mu_y < 0$ . Es un máximo

$$J_{cv}(\hbar\omega) = \frac{2S \sqrt{|\mu_x \mu_y|}}{\pi \hbar^2} \times \begin{cases} 1 & \text{si } \hbar\omega < E_2 \\ 0 & \text{si } \hbar\omega > E_2 \end{cases}$$

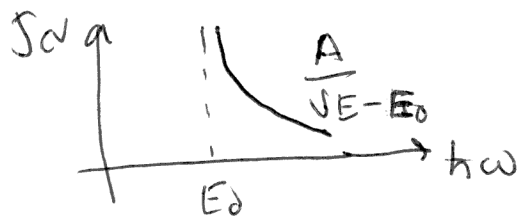


Puntos críticos 1D.

$$M_0: E_c(k) - E_v(k) = E_0 + \frac{\hbar^2 k_x^2}{2m_x}$$

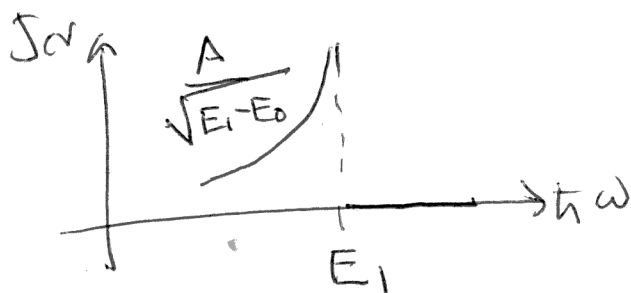
$$J_{cv}(\hbar\omega) = \frac{L_x}{2\pi} \int \delta(E_0 + \frac{\hbar^2 k_x^2}{2m_x} - \hbar\omega) dk_x$$

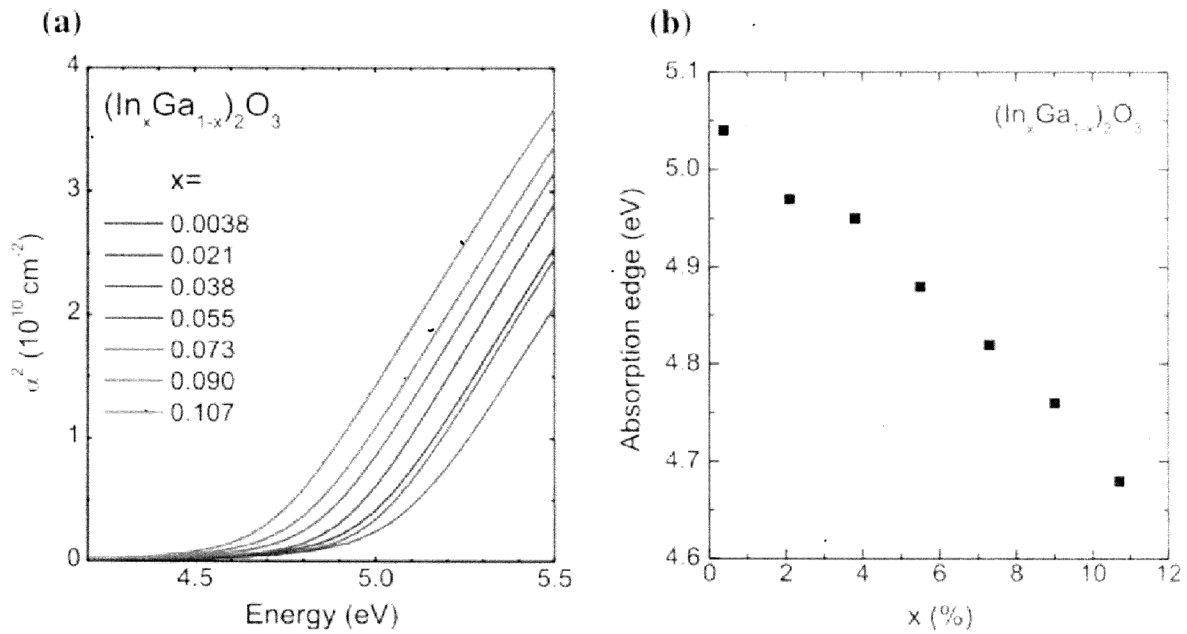
$$\approx \frac{L_x}{2\pi\hbar} \sqrt{2m_x} \cdot \frac{1}{\sqrt{E - E_0}}, \text{ si } E > E_0$$



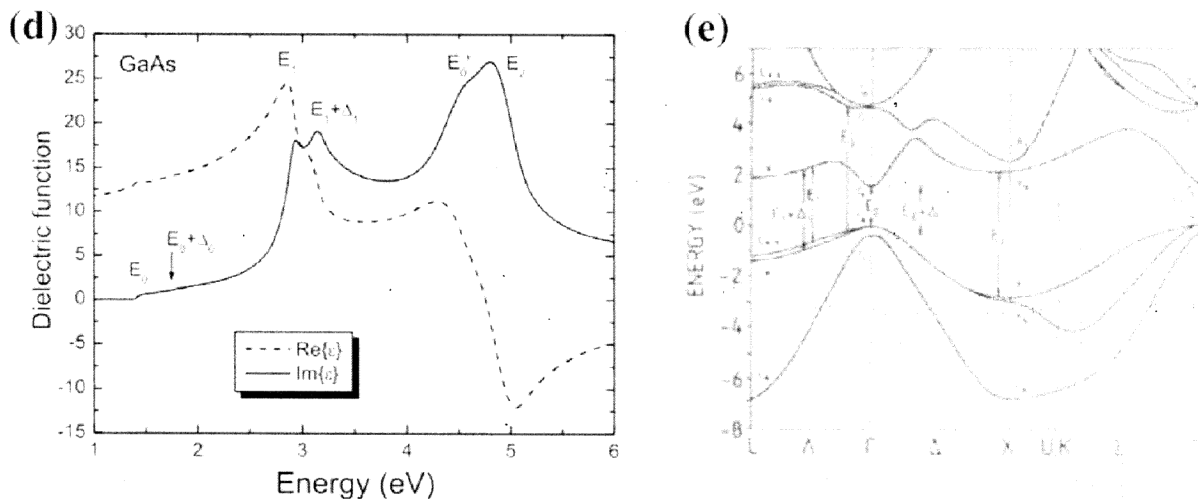
$$M_1: E_c(k) - E_v(k) = E_1 - \frac{\hbar^2 k_x^2}{2m_x}$$

$$J_{cv}(\hbar\omega) = \frac{L_x \sqrt{2m_x}}{2\pi\hbar} \frac{1}{\sqrt{E_1 - E}}$$



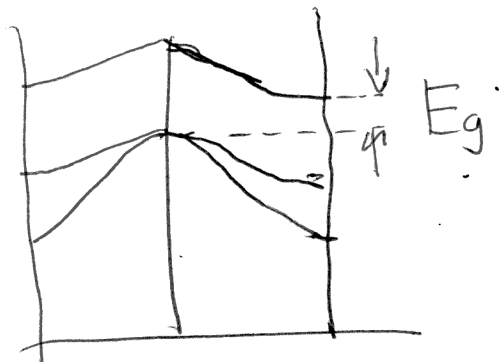


**Fig. 9.7** (a) Absorption spectra of  $(\text{In}_x\text{Ga}_{1-x})_2\text{O}_3$  alloy thin films on  $\text{Al}_2\text{O}_3$ , plotted as  $\alpha^2$  versus photon energy. (b) Band edge determined from extrapolation of linear parts.  
Fuente: M. Grundmann, The physics of semiconductors.



T=300 K. A la derecha se indican las bandas y las energías de puntos críticos.  
Fuente: M. Grundmann, The physics of semiconductors, 3ra ed., Springer (2016)

Transiciones indirectas - Gap indirecto  
 Materiales como el silicio tienen una estructura de bandas con gap indirecto



Hay absorción desde  $\hbar\omega \geq E_g$   
 Estas transiciones cambian el  $\vec{k}$  electrónico.

Este  $\Delta\vec{k}$  se logra por absorción o emisión de fonones.

Las transiciones verticales ocurren para energías mayores.

Se explica mediante teoría de perturbaciones dependiente del tiempo de 2do orden

$$W = H_{em} + H_{ep}$$

$$= \frac{eA_0}{mc} \vec{e} \cdot \hat{p} e^{-i\omega t} + c.c. + \frac{1}{\sqrt{N}} \sum_{\vec{q}} \overbrace{V_p(\vec{q}; \vec{r})}^{12B} e^{-i\omega_{\vec{q}} t} \hat{a}_{\vec{q}}$$

Aquí para la luz:  $\vec{q} = 0$  + A.C.

$\vec{q}$  es el del fonón. A diferencia de la luz,  $\vec{q}$  de fonón está en toda la 1ra Zona de Brillouin.  
 $\hat{a}_{\vec{q}}$  es operador de aniquilación de fonón.

La transición indirecta (con cambio de  $\vec{k}$ )  
 se hace posible en 2do orden de perturbaciones

$$P_{\alpha \vec{k}_1 \rightarrow \alpha \vec{k}_2} = \frac{2\pi}{\hbar} |W_{\alpha \vec{k}_1 \rightarrow \alpha \vec{k}_2}|^2 \delta(E_{\alpha \vec{k}_2} - E_{\alpha \vec{k}_1} - \hbar\omega_g - \hbar\omega)$$

... donde, en 2do orden, para absorción de un fotón y absorción en fonón.

$$W_{\alpha \vec{k}_1 \rightarrow \alpha \vec{k}_2} = \frac{eA_0}{mc} \sqrt{n_g} \frac{1}{\sqrt{N}} \left[ \frac{\langle \psi_{\alpha \vec{k}_2} | V_p(\vec{q}, \vec{r}) | \psi_{\alpha \vec{k}_1} \rangle \langle \psi_{\alpha \vec{k}_1} | \vec{e} \cdot \vec{p} | \psi_{\beta \vec{k}_1} \rangle}{E_{\alpha}(\vec{k}_1) - E_{\alpha}(\vec{k}_1) + \hbar\omega} \right. \\ \left. + \sum_{\beta} \frac{\langle \psi_{\alpha \vec{k}_2} | \vec{e} \cdot \vec{p} | \psi_{\beta \vec{k}_2} \rangle \langle \psi_{\beta \vec{k}_2} | V_p(\vec{q}, \vec{r}) | \psi_{\alpha \vec{k}_1} \rangle}{E_{\alpha}(\vec{k}_1) - E_{\beta}(\vec{k}_2) + \hbar\omega_g} \right]$$

donde  $n_g = \frac{1}{e^{\beta \hbar \omega_g} - 1}$

Las 2 sumatorias se pueden representar así:



+



Ademas hay procesos de emisión de fonón

Haciendo aproximaciones similares a las vistas para transiciones directas, se obtiene una densidad de estados conjunta.

$$J_{CV, \text{phonon}}(\omega) = \frac{(m_v^+ m_c^-)^{3/2}}{16 \pi^3 \hbar^6} (\hbar\omega - E_g + k_B \Theta)$$

donde  $k_B \Theta_0 = \hbar\omega_{q_0}$ ,  $\vec{q}_0$  del fonón que hace la transición  
 $q_0 = k_j - k_i$

también hay que considerar la emisión de fonones

La contribución total es

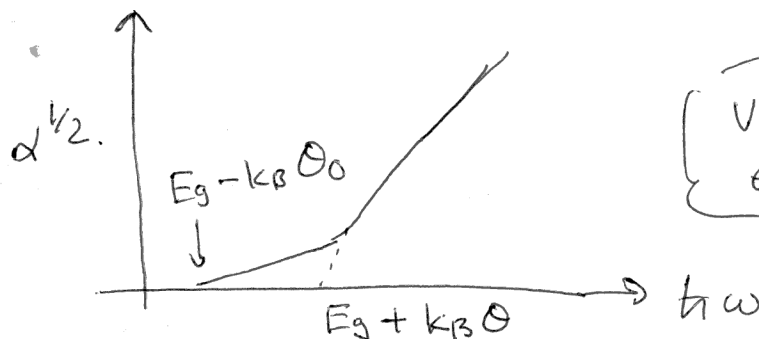
$$\alpha(\omega) = C \left[ \frac{(\hbar\omega - E_g + k_B \Theta)^2}{e^{\Theta/T} - 1} + \frac{(\hbar\omega - E_g - k_B \Theta)^2}{1 - e^{-\Theta/T}} \right]$$

$\nearrow$   
 $n_q$   
 aniquilación (absorción) de fonón.

$\nearrow$   
 $n_q + 1$ , creación (emisión) de fonones

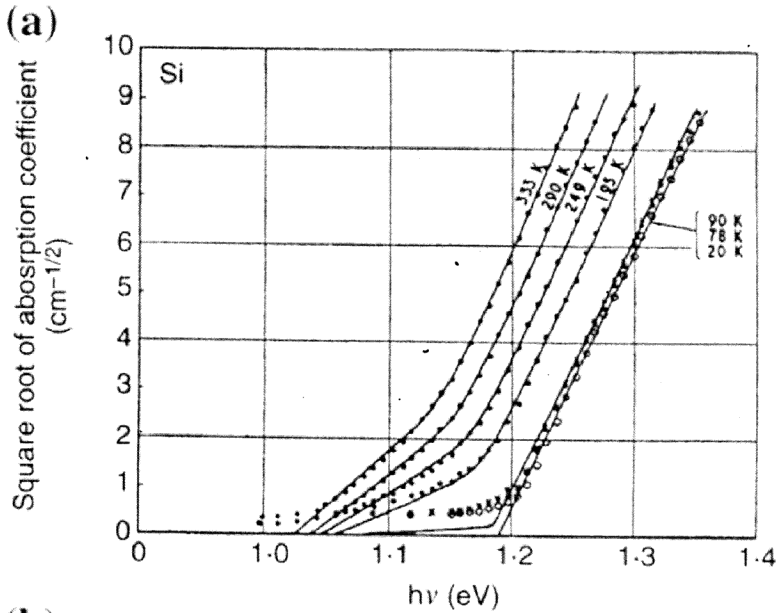
desaparece a baja T

Este proceso existe a cualquier T.



Ver gráficos en slide

Transiciones indirectas

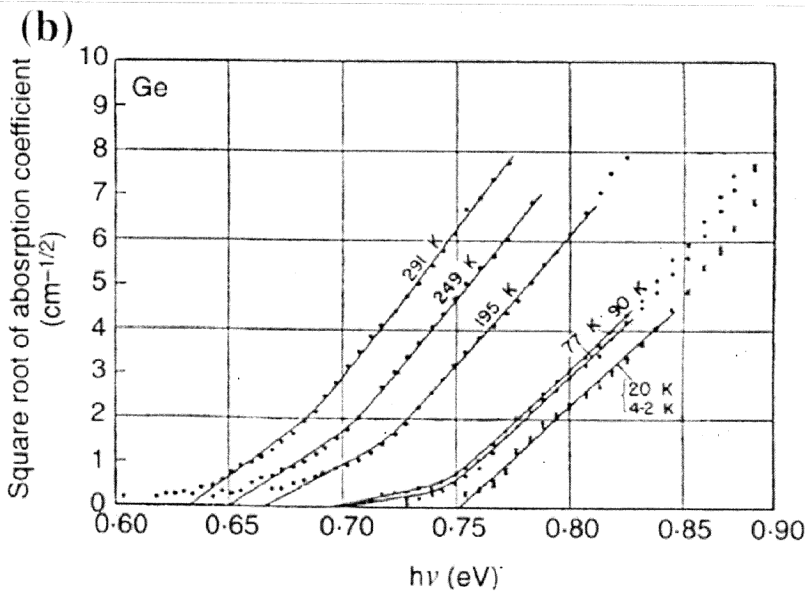


Hay dos líneas rectas:  
para creación y para  
aniquilación de fonón

La de menor umbral es  
la de aniquilación.

A bajas temperaturas no  
hay fonones para  
aniquilar. Esta línea se  
refuerza al aumentar T.

Hay una zona no  
explicada para baja  
energía. Se debe a  
impurezas y defectos.



Idem.

Note los valores del  
coeficiente de absorción

$\alpha \sim 10^1 - 10^2 \text{ cm}^{-1}$   
compare con el caso de  
transiciones directas en  
GaAs

$\alpha \sim 10^5 \text{ cm}^{-1}$

Figure 12.8 (a) Indirect transitions in silicon; dots indicate experimental measurements; the full lines are calculated using Eq. (12.22) of the text. (b) Indirect transitions in germanium [With permission from Fig. 1, Phys. Rev. 98, 1865 (1955) and Fig. 1, Phys. Rev. 97, 1714 (1955)].

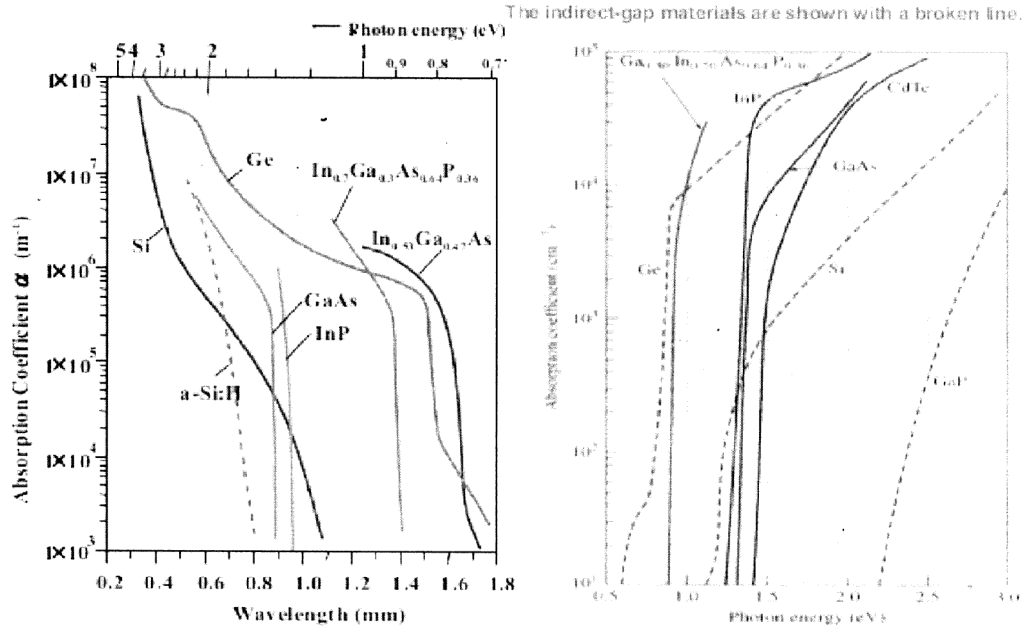
Fuente: Grosso & Pastori Parravicini, Solid State Physics

En escala logaritmica se aprecia mejor. Identifique los distintos regimenes.

## Photodetectors

### Absorption Coefficient and Photodiode Materials

#### □ Absorption

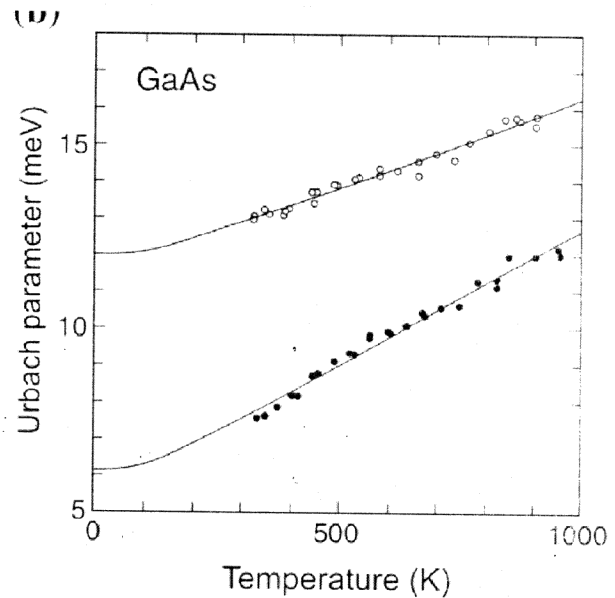
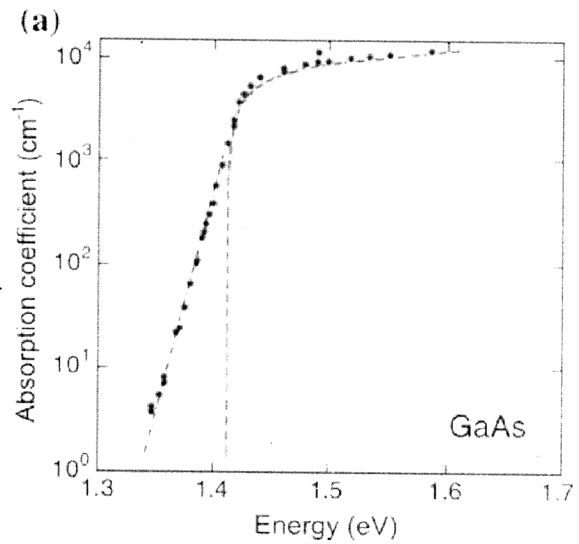


Colas de Urbach

$$\alpha(E) \propto \exp\left(\frac{E - E_g}{E_0}\right), \text{ si } E < E_g$$

$E_0$  es llamado parámetro de Urbach

La cola de Urbach se debe a transiciones desde o hacia estados localizados en el gap, cerca de los bordes de banda. Se originan por desorden, defectos, impurezas, y fluctuaciones térmicas.



Fuente: M. Grundmann, The physics of semiconductors, 3ra ed., Springer (2016)

## Anisotropía.

$\epsilon$  es un tensor de rango 2.

Se representa por matrices

Para cristales cúbicos es diagonal.

Ver transparencia resumen.

La anisotropía se obtiene de  $|\vec{e} \cdot \vec{p}(\nu)|^2$  y

de la simetría de las bandas, o más

bien de las  $\psi_{0\vec{k}}$ ,  $\psi_{c\vec{k}}$ , las cuales, a su vez,

reflejan la simetría de la estructura

crystalina. Técnicamente, la forma del

tensor  $\epsilon$  depende del grupo puntual del cristal.

Anisotropía

**Table 9.2** General form of the dielectric tensor for various crystals

crystal system	optical symmetry		examples
cubic	isotropic	$\begin{pmatrix} a & 0 & 0 \\ 0 & a & 0 \\ 0 & 0 & a \end{pmatrix}$	Si, GaAs, MgO, ZnSe, CuI
tetragonal hexagonal trigonal	uniaxial	$\begin{pmatrix} a & 0 & 0 \\ 0 & a & 0 \\ 0 & 0 & c \end{pmatrix}$	CuGaSe <sub>2</sub> , GaN, Bi <sub>2</sub> Se <sub>3</sub>
orthorhombic	biaxial	$\begin{pmatrix} a & 0 & 0 \\ 0 & b & 0 \\ 0 & 0 & c \end{pmatrix}$	Sb <sub>2</sub> Se <sub>3</sub>
monoclinic	biaxial	$\begin{pmatrix} a & d & 0 \\ d & b & 0 \\ 0 & 0 & c \end{pmatrix}$	$\beta$ -Ga <sub>2</sub> O <sub>3</sub> , anthracene
triclinic	biaxial	$\begin{pmatrix} a & d & e \\ d & b & f \\ e & f & c \end{pmatrix}$	tetracene

Fuente: M. Grundmann, The physics of semiconductors, 3ra ed., Springer (2016)

# Excitones

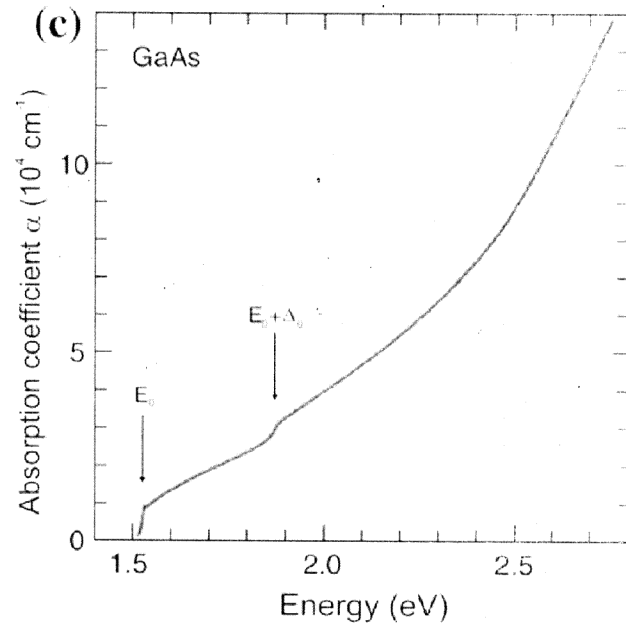
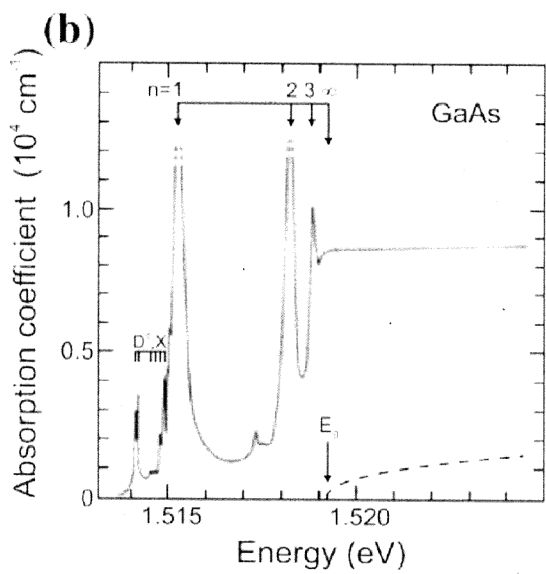
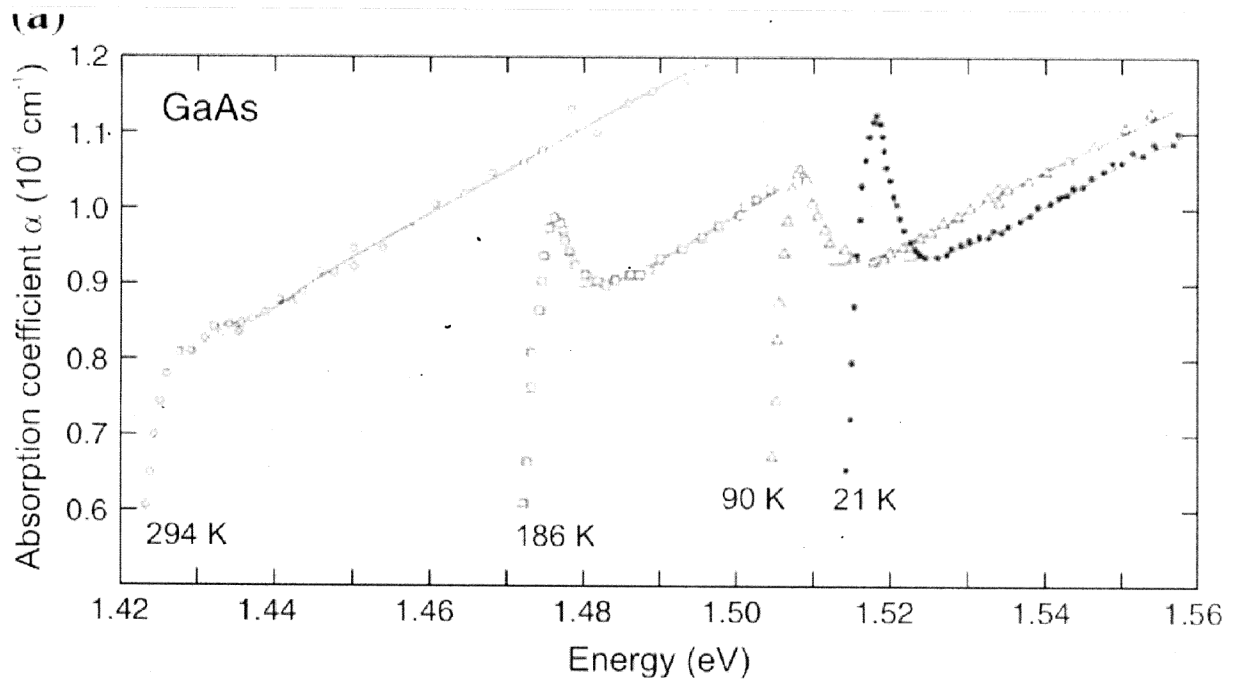
Mostrar espectros de absorción de GAs para varias temperaturas. Se observa la aparición de un fuerte pico de absorción a baja  $T$ .

Medido con alta resolución, es una serie de picos. Aunque existe una teoría rigurosa (vease § 7.1 del texto de Grosso & Pastorel), consideraremos un modelo simple.

Cuando la absorción de luz produce transiciones valencia  $\rightarrow$  conducción, los pares electron-hueco se acoplan, similar a un átomo de hidrógeno. El movimiento relativo del par  $e-h$  se describe por una función  $F(\vec{r})$  que satisfaga

$$\left[ \frac{\hbar^2}{2\mu} \nabla^2 - \frac{e^2}{\epsilon r} \right] F(\vec{r}) = (E - E_g) F(\vec{r})$$

Excitones



La línea discontinua muestra la teoría sin exciton.

Los picos con  $E < E_g$  se deben a interacciones de pares. No se predicen con la teoría de electrones independientes.

Fuente: M. Grundmann, The physics of semiconductors, 3ra ed., Springer (2016)

Esta ecuación es similar a la del hidrógeno,

la energía de enlace es

$$R_{ex} = \frac{\mu e^4}{2 \hbar^2 \epsilon^2} = (13.6 \text{ eV}) \frac{(\mu/m_0)}{\epsilon^2} = R \frac{(\mu/m_0)}{\epsilon^2}$$

→  $E_n = E_0 - R_{ex}/n^2$   
el radio de Bohr del exciton es

$$a_{ex} = \frac{\hbar \epsilon}{\mu e^2} = a_B \frac{m}{\mu} \epsilon, \quad a_B = 0.529177 \text{ \AA}$$

Si  $A(\vec{k})$  es la transformada de Fourier de  $F(\vec{r})$

$$F(\vec{r}) = \frac{1}{\sqrt{V}} \sum_{\vec{k}} A(\vec{k}) e^{i\vec{k} \cdot \vec{r}}$$

entonces el estado multielectrónico se expresa

$$\Psi_{ex} = \sum_{\vec{k}} A(\vec{k}) \Psi_{\vec{k}, \nu \vec{k}}$$

Con respecto a la aproximación de electrones independientes, se reemplaza

$$|\langle \Psi_{\vec{k}, \nu \vec{k}} | \vec{e} \cdot \hat{p} | \Psi_{\nu \vec{k}} \rangle|^2 \rightarrow \left| \sum_{\vec{k}} A(\vec{k}) \langle \Psi_{\vec{k}} | \vec{e} \cdot \hat{p} | \Psi_{\nu \vec{k}} \rangle \right|^2$$

Se aproxima  $\langle \psi_{ck} | \vec{e} \cdot \vec{p} | \psi_{vE} \rangle = q = cte$

$$P_{\psi_{ex} \rightarrow \psi_{ex}} = \frac{2\pi}{h} \left( \frac{eA_0}{mc} \right)^2 2|c_k|^2 V |F(0)|^2 \delta(E_{ex} - E_0 - h\omega)$$

Al igual que para el hidrogeno,

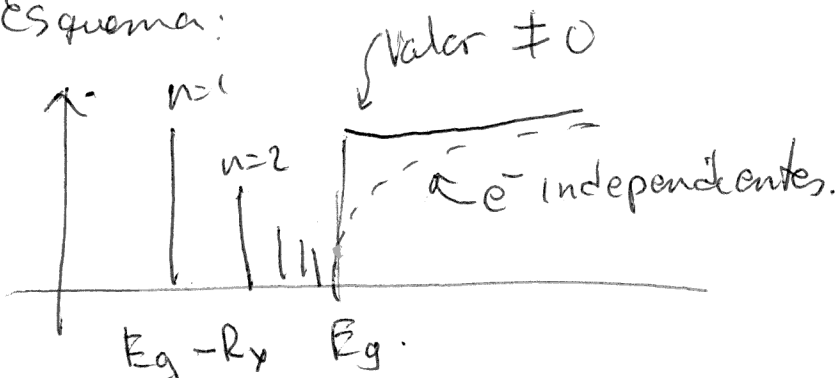
$F(0) \neq 0$  para estado S.

$$\text{Ademas, } F_n(0) = \frac{1}{\sqrt{\pi} a_{ex}^3 n^3}$$

Para  $h\omega > E_g$  tambien se modifica el espectro de absorcion

$$E_2^{ex}(\omega) = E_2(\omega) \frac{\pi \chi e^{\pi \chi}}{\sinh \pi \chi}, \text{ con } \chi = \sqrt{\frac{R_{ex}}{h\omega - E_g}}$$

Esquema:



Si  $h\omega - E_g \gg R_{ex}$   
 Se recupera el resultado de  $e^-$  independientes

En caso que en el punto critico  $M_0$ , ocurre

$$\langle \Psi_{c\vec{k}_0} | \vec{p} | \Psi_{v\vec{k}} \rangle = C_2 \vec{k}$$

$$P_{\psi_0 \rightarrow \psi_{ex}} = \frac{2\pi}{\hbar} \left( \frac{eA_0}{mc} \right)^2 |C_2|^2 v \left| \vec{e} \cdot \nabla F \Big|_{\vec{r}=0} \right|^2 \delta(E_x - E_0 - \hbar\omega)$$

$\nabla F(\vec{r}=0) \neq 0$  sólo para estados p. Las

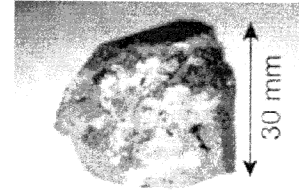
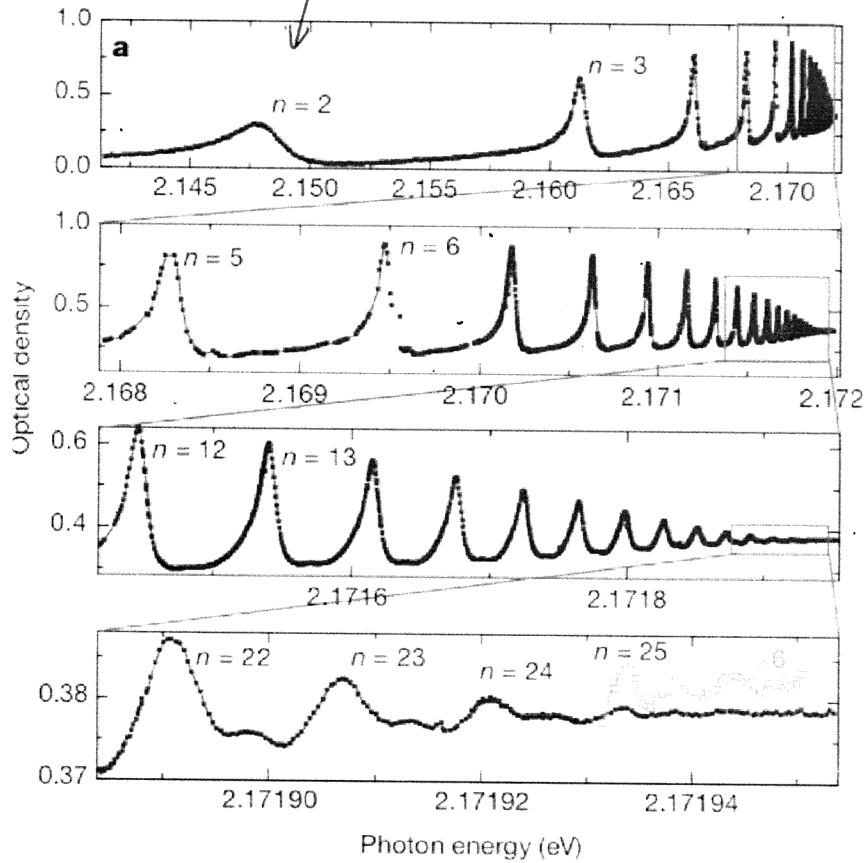
líneas de absorción ocurren a

$$E_n = E_g - \frac{R_{ex}}{n^2} \quad , \quad n=2, 3, \dots$$

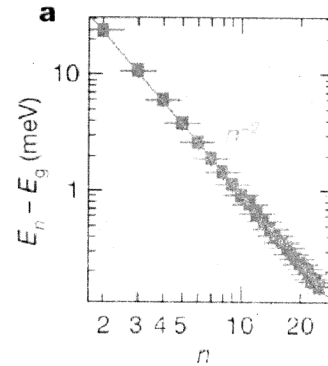
El  $\text{Cu}_2\text{O}$  es un ejemplo donde esto ocurre.

Vea que comienza con  $n=2$

Excitón en  $\text{Cu}_2\text{O}$



Cortaron piezas de 34  $\mu\text{m}$

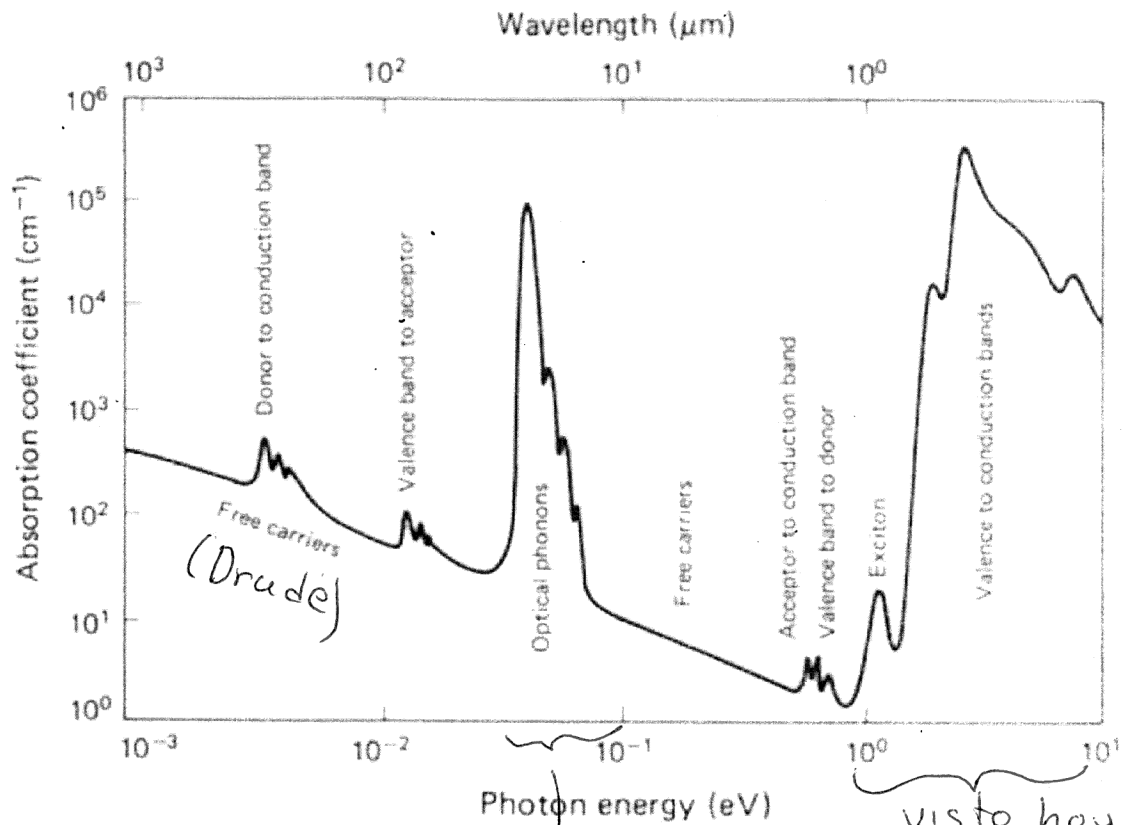


$$E_n = E_g - \frac{R_{ex}}{n^2}$$

Serie del  $\text{Cu}_2\text{O}$  a  $T=1.2$  K. Se ha medido en una piedra natural muy pura de  $\text{Cu}_2\text{O}$ .

Fuente: T.Kazimierzczuk et al., Giant Rydberg excitons in the copper oxide  $\text{Cu}_2\text{O}$ . Nature 514, 343–347 (2014).

Espectro de absorción típico.



Fuente: Fig 9.3, M. Grundmann, The physics of semiconductors, 3ra ed., Springer (2016)

proximas 2  
semanas